

## II-66 Sand Ripple の密度とスケールについて

防衛大学校 正員 真嶋恭雄

" " 池内正幸

" " ○宮武順造

1. まえがき、 *Tanquill flow* のもとで河床に形成される砂連には、 Crests が横断面一樣に発達する場合と、三次元的な点状に発達するものとの観測される。従つて、こうした河床形態上の流れの解析にあたつては、それぞれの特性を示す要素を導入する必要があると思われる。最近、 Vanoni and Hwang などにより、 exposure parameter,  $\epsilon$  を用いた Ripples 上の流れの抵抗に関する解析が報告されている。われわれも、(1)、上述の河床形態の定義があいまいであるため、客觀的規準が必要であること、(2)、それぞれの粗度要素を考慮すること、の 2 点から与えられた流量のもとで発生した Sand Ripples の密度を求め、 Sand bed 上の流れの性質を明らかにしたいと考えている。今回は、河床に形成される点状に発達した Sand Ripples の発生密度とスケールの関係について、実験にもとづき若干の考察を行なつたので報告する。

### 2. 実験装置および方法

実験水路は、  $50\text{cm} \times 50\text{cm} \times 15\text{m}$ 、両面ガラス張り鋼製

可変勾配水路を使用した。水路床に中央粒径  $d_{50}=0.14\text{mm}$ 、比重 2.65 の標準砂を  $10\text{cm}$  厚さに敷きならした。水

面形状は、静止管と

水路側壁から測定し

た。Sand Ripples の

個数は、水路中央に

設けた観測域内のも

のについて、側面カ

ラスおよび上面グラ

フを併用して測定

を行なった。実験の

概要を Table-1 に示

す。Table-1 における

Sand Ripples の波

高、波長の平均値、

Table 1

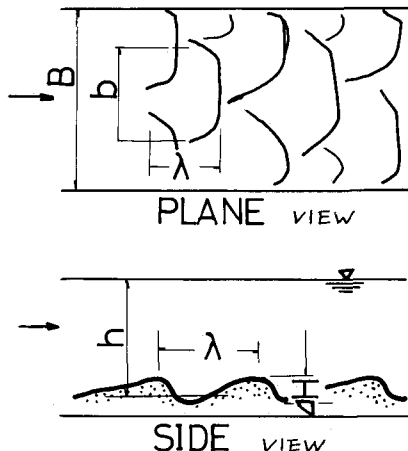


Fig-1 説明図

$\bar{A}$ 、 $A$ は、それぞれ密度を測定したときの観測域内の平均値を示すものである。また、Ripple density  $N/A$ について、 $N$ は観測域内の Sand Ripples の個数、 $A$ は観測域の面積である。

### 3. 実験結果と考察

Fig-1 に示すような Sand Ripples が平衡状態にあり、流れを等流とすると、単位面積中の Sand Ripples 1 個が受持つ抵抗は、単位面積中の Sand Ripples の数を  $N$ 、として次式であらわされる。

$$\frac{T_0 \cdot A}{N} = F_2 + T_1 \left( \frac{A - A_{loss}}{N} \right) \quad (1)$$

$T_0$  は単位面積あたりの全抵抗、 $F_2$  は、砂連による抵抗、 $T_1$  は、砂粒摩擦による抵抗。  
 $F_2$  につけよ、ここに、 $A_s$  は、流体力が作用する Sand Ripples の断面積、 $A_{loss}$  は Sand Ripples による死水域、また、 $C_x$  は Sand Ripples に関する抵抗係数。

いま、(1)、(2)式から、さうに単位面積中に存在する砂粒の個数、 $n_g = N/A = \gamma/d_{50}^2$  ( $\gamma=0.4$ ) を用いて次式を得る。

$$T_0 = \frac{1}{2} \cdot \rho \cdot V^2 \cdot C_x \cdot \frac{\gamma \cdot A_s}{d_{50}^2} \cdot S + T_1 \cdot f(S) \quad \left. \right\} \quad (3)$$

ここに  $S = \frac{N}{A} \cdot \frac{d_{50}^2}{\gamma} = \frac{\text{単位面積中の Sand Ripples の数}}{\text{砂粒の数}}$

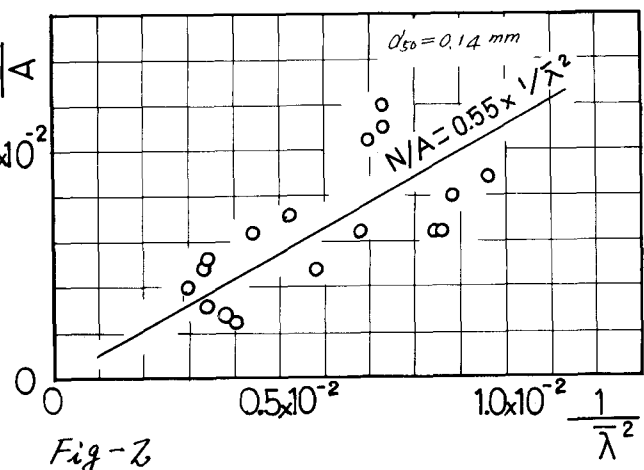
(3) 式が成立つものとすると、流れの抵抗を評価する場合、密度も 1 つの重要な要素と考えられる。

Sand Ripples の密度と平均波長  $\bar{\lambda}$  の関係 単位面積中の Sand Ripples の数  $N/A$  は、平均の Sand Ripples の波長  $\bar{\lambda}$  に関係し、次式  $N/A = \kappa \cdot (1/\bar{\lambda})^m$  であらわされるものとすると、それと、 $N/A$  および  $\bar{\lambda}$  の実測値を用いて、プロットすると、Fig-2 が得られる。ここで Ripples の数  $N$  の評価が疑問であるが、Crests が横断線上にあっても死水域または背面が切斷されているものについては、すべて  $N$  のうちとした。Fig-2 から本実験、 $d_{50}=0.14 \text{ mm}$  砂について、平均的に

$$\kappa = 0.55, \quad m = 1.0 \quad \text{を得た}$$

Sand Ripples density,  $S$  と流れおより  $\bar{A}/\bar{\lambda}$  との関係。

砂連の特性は、流れの掻流力、および底質に強く支配されるといわれている。そこで、Ripples の密度  $S$  は河床の洗掘量をあらわすものと考えられるから、本文では次のように整理した。すなはち、流れの失



なう Energy,  $E_f$   
として、 $E_f = C \cdot V$   
に対して、単位時間  
間、単位面積中の  
砂粒を Pick-up  
するに必要な Energy,  
 $E_p$ は、砂粒  
の沈降速度を  $w_s$

として、  
 $(\rho - \rho_s) g \cdot d_{50} \cdot w_s$   
に比例すると考え  
られる。従がつて  
両者の比

$$\frac{E_f}{E_p} = \frac{C \cdot V}{(\rho - \rho_s) g \cdot d_{50} \cdot w_s}$$

も、洗掘量を支配  
する重要な量であ  
ると思われる。

まず、Ripple  
density,  $S$  と  $E_f/E_p$  の関  
係を図示したのが Fig-3  
である。Fig-3 におい  
て、筆者の場合は、 $S$  の  
実測値、他の研究者の場  
合につけては、Fig-2  
の関係を用いて、(3)式の  
 $S$  を計算したものである  
。用いた資料は、いずれ  
も Ripples として報告さ  
れているものを使用した  
。全体として、 $E_f/E_p$   
の増加とともに、Ripples  
density,  $S$  は、減少して  
いる。

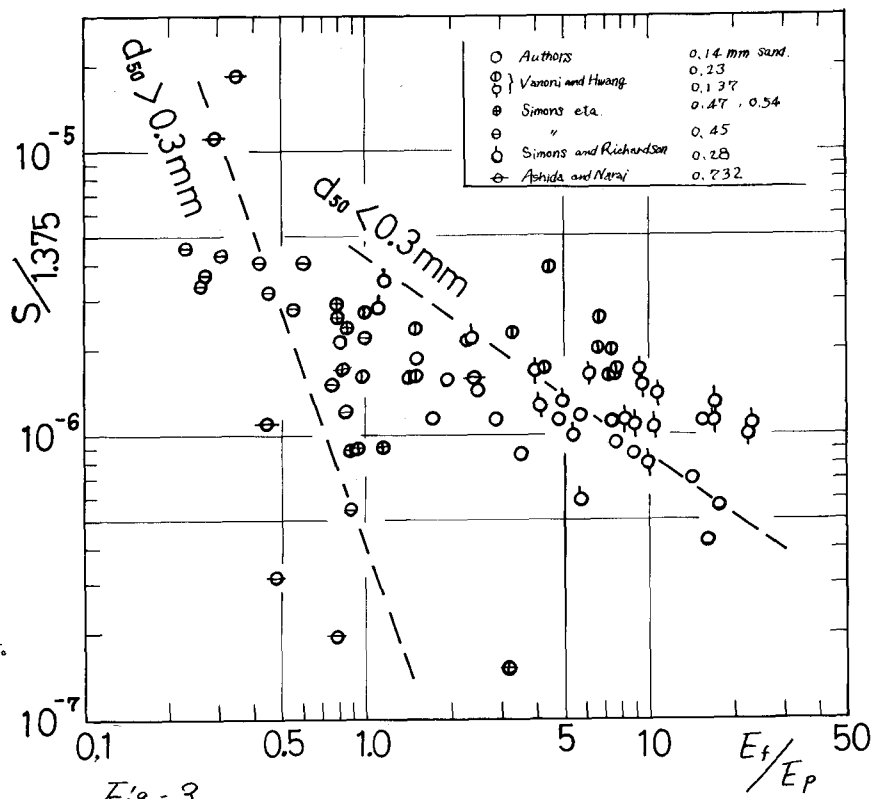


Fig-3

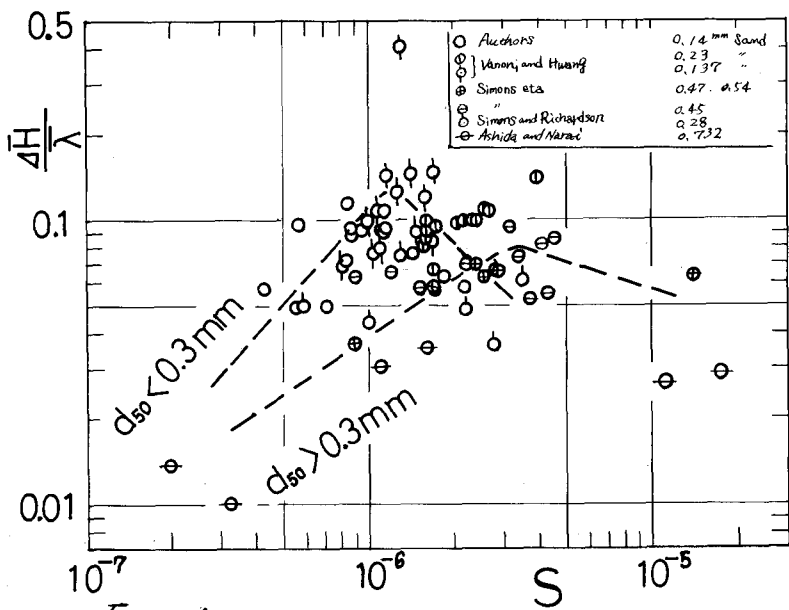


Fig-4

Fig-2 の関係が、粒径の異なるものにつけても、同一の関係を持つものと考えると、Ripples density,  $S$  は、粒径  $d_{50} = 0.3 \text{ mm}$  程度を境にして、異なった傾向を持つことが Fig-3 から知れる。

しかしながら、一般に、描点は、  
かなり散らばりが大きく、正確さ  
に欠けるようと思える。

以上の関係から、Sand Ripples density,  $S$  を用いて流れの抵抗をあらわす場合、河床構成砂礫の考慮が必要と思われる。ここで、Varonni and Hwang, などにより報告されていふように、次式

$$V/u_* = f(h/e \cdot sH) \quad (5)$$

の表示に従がうものとすると、粒径によつて、異なつた傾向を持つものと判断される。Fig. - 5は、粒径  $d_{50}$  がほぼ同一の場合として、Vanoni の実験値と筆者の実験結果とを、(5)式の関係から、横軸に  $\frac{h}{S \cdot A H}$  を用いてプロットしたものである。ここで  $V$ ; 断面平均流速、 $h$ ; 平均水深、である。同一の粗径にフ(1)では、かなりよき相関を示してゐる。

おわりに、本実験はまだ中金であり、今後さらに広範な実験を行ない、詳細に検討を進めたうえで、本実験にあたり、種々ご助言いただいた防大土木教室、成富講師に厚く感謝申上げます。また、実験に協力いただいた、当教室、栗森鉄博氏に謝意を表す。

### 参考文献：

1. Venoni and Hwang ; Relation between bed forces and friction in streams, Pro. A.S.C.E., 1967.
  2. Simons, Richardson and Haasfield ; Studies of flow in alluvial channels Geological Survey
  3. Simons, Richardson and Albertson : " " 1961.
  4. Simons and Richardson ; Forms of bed roughness in alluvial channels Pro. A.S.C.E., 1963.
  5. 王國、余立升 ; 河床形態の運動特性に関する研究。 宜蘭水土保持研究室年報 第12號 B. 3.43.

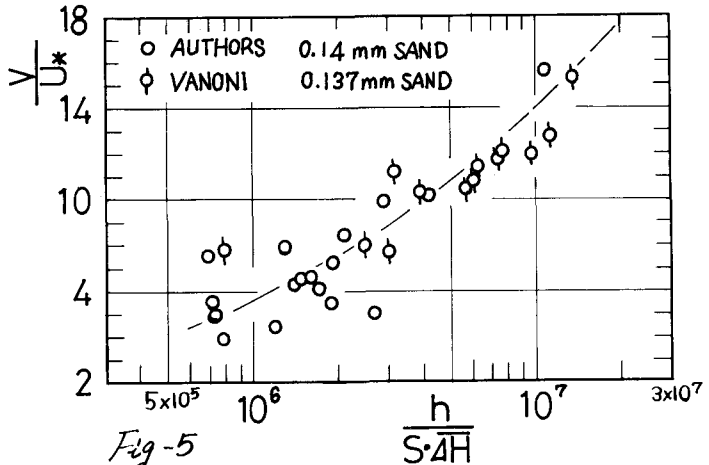


Fig-5